

# Perencanaan Geometrik Jalan Rel Pada Trase Baru Rute Purwokerto Selatan - Banjarsari

DENIEL TRISATYA NUGRAHA<sup>1</sup>, HERMAN<sup>2</sup>

1. Institut Teknologi Nasional Bandung
2. Institut Teknologi Nasional Bandung

Email: deniel.tri28@gmail.com

## ABSTRAK

Jalur kereta api rute Purwokerto – Banjarsari adalah jalur nonaktif di Daerah Operasi 5 Purwokerto yang dibangun oleh Serajoedal Stoomtram Maatschappij (SDS) dari tahun 1917 sampai penutupan pada tahun 1978. Efek dari penutupan, prasarana sudah berubah dan hilang yang mengakibatkan tidak bisa dilakukan reaktivasi. Sebagai alternatif, dibuat jalur baru menuju Stasiun Banjarsari melalui Selatan kota Purwokerto yang dimulai dari Stasiun Purwokerto Selatan. Tujuan dari penelitian ini adalah merencanakan bentuk geometrik jalur rel dari Stasiun Purwokerto Selatan (STA 0+575) sampai Stasiun Banjarsari (STA 18+350) sejauh 18 KM bedasarkan P.M. Perhubungan Nomor 60 Tahun 2012 tentang Persyaratan Teknis Jalur Kereta Api. Lebar rel yang digunakan adalah 1067 mm dengan kelas jalur rel tipe I, dan kecepatan maksimal 120 km/jam. Hasil penelitian didapatkan 15 lengkung horizontal terdiri dari 3 lengkung Full Circle dengan jari-jari lengkung minimal 3.000 meter dan 12 lengkung Spiral-Circle-Spiral dengan jari-jari lengkung minimal 800 meter. Lengkung vertikal menggunakan jari-jari lengkung 6.000 meter dan 8.000 meter mengacu kecepatan rencana pada lengkung horizontal dengan landai penentu 10 %. Terakhir, hambatan sepanjang alinyemen diambil pada titik hambatan kritis dari IPV-02 sampai IPV-03 dengan kelandaian 17,41 % menggunakan 1 lokomotif CC 206 ditambah 6 kereta penumpang dengan hasil kereta bisa melewati hambatan tersebut.

Kata kunci: geometrik, kereta api, rel, alinyemen, horizontal, vertikal

## ABSTRACT

*Purwokerto – Banjarsari route railroad was a non-active line in DAOP 5 Purwokerto which was built by Serajoedal Stoomtram Maatschappij (SDS) from 1917 until its closure in 1978. That was that the infrastructure had changed and lost so that reactivation could not be carried out. Alternative, a new route is made to Banjarsari Station through the southern Purwokerto start from South Purwokerto Station. The purpose is planning the geometric shape of the rail line from South Purwokerto Station (STA 0+575) to Banjarsari Station (STA 18+350) based on 2012 Minister of Transportation Regulation Number 60 concerning Railway Technical Requirements. The the rail width used 1.067 mm with type class I, and maximum train speed 120 km/hour. The results showed 3 Full Circle curve with a minimum radius 3.000 meters and 12 Spiral-Circle-Spiral curve with a minimum radius 800 meters. The vertical curve uses radius 6.000 meters and 8.000 meters refers to design speed on horizontal curve with determining ramp 10%. Finally, the obstacles along the alignment were taken at the critical obstacle points from IPV-02 to IPV-03 with a slope 17.41% using 1 CC 206 locomotive plus 6 passenger train cars with the result that the train could pass through the barriers.*

**Keywords:** geometric, train, railroad, alignment, horizontal, vertical

## 1. PENDAHULUAN

Jalur Purwokerto-Banjarsari adalah jalur kereta nonaktif yang masuk aset milik Daerah Operasi (DAOP) 5 Purwokerto. Jalur ini dibuka pada tahun 1917 oleh Serajoedal Stoomtram Maatschappij (SDS) melalui kota Purwokerto, Sokaraja, dan Banjarsari. Seiring perkembangan transportasi jalur raya, maka jalur kereta api tersebut ditutup pada tahun 1978 karena kalah bersaing dengan moda yang menggunakan roda karet. Sebagai tindak lanjut dari Keputusan Menteri Perhubungan Nomor KP 2128 Tahun 2018 tentang Rencana Induk Perkeretaapian Nasional (RIPNas), maka perlu dilakukan pembangunan reaktivasi jalur tersebut. Karena kondisi jalur eksisting tidak dimungkinkan untuk direaktivasi, maka direncanakan rute baru ke Banjarsari. Untuk merencanakan rute tersebut, diperlukan desain aliyemen geometrik jalur rel sebagai langkah awal dalam pembangunan jalur rel pada trase baru yang dipilih sesuai P.M. Perhubungan no. 60 tahun 2012 beserta hambatan alinyemen.

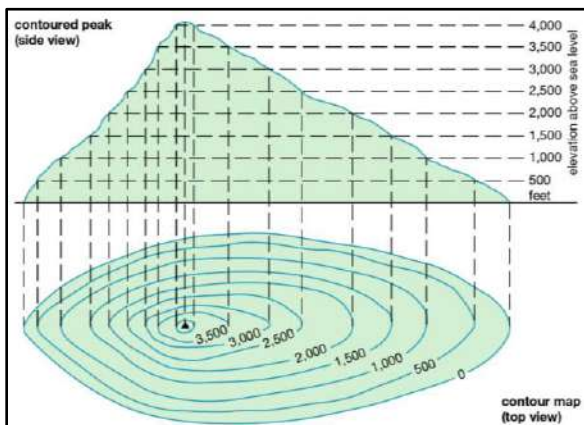
## 2. TINJAUAN PUSTAKA

### 2.1 Jalan Rel

Jalur rel merupakan suatu konstruksi yang direncanakan sebagai prasarana atau infrastruktur perjaluran kereta api.

### 2.2 Peta Topografi

Peta topografi menunjukkan bentuk, ukuran dan distribusi atau gambaran bentang alam, disebut sebagai topografi, atau konfigurasi dari permukaan alam. Gambar ketinggian (elevasi) ditunjukkan pada garis kontur, yang merupakan semua kedudukan dari titik-titik yang mempunyai elevasi (altitude) sama.



(Sumber: <https://www.mapserve.co.uk/>)  
Gambar 1. Garis Kontur dan Permukaan Bumi

### 2.3 Foto Udara

Foto udara merupakan rekaman fotogrametris objek di atas permukaan bumi yang pengambilannya dilakukan dari udara.

### 2.4 Trase Jalur Kereta Api

Trase jalur kereta api adalah rencana tapak jalur kereta api yang telah diketahui titik koordinatnya.

## 2.5 Kecepatan

Menurut Peraturan Menteri Perhubungan No. 60 Tahun 2012 terdapat beberapa tipe kecepatan, yaitu:

### A. Kecepatan rencana

Kecepatan rencana adalah kecepatan yang digunakan untuk merencanakan konstruksi jalur rel.

#### a. Untuk perencanaan struktur jalur rel

$$V_{\text{rencana}} = 1,25 \times V_{\text{maks}}$$

#### b. Untuk perencanaan peninggian

$$V_{\text{rencana}} = C \times \frac{N_i V_i}{V_i}$$

#### c. Untuk perencanaan jari-jari lengkung lingkaran dan lengkung peralihan

$$V_{\text{rencana}} = V_{\text{maks}}$$

### B. Kecepatan maksimum

Kecepatan maksimum adalah kecepatan tertinggi yang diijinkan untuk operasi suatu rangkaian kereta pada lintas tertentu

### C. Kecepatan Operasi

Kecepatan operasi adalah kecepatan rata-rata pada petak jalur tertentu.

### D. Kecepatan Komersial

Kecepatan komersial kecepatan rata-rata kereta api sebagai hasil pembagian jarak tempuh dengan waktunya tempuh.

## 2.6 Kelas Jalur Rel

Kelas jalur rel diperlukan untuk menentukan daya angkut lintas, kecepatan maksimum ( $V_{\text{maks}}$ ), beban maksimum gandar, dan tipe rel.

**Tabel 1. Kelas Jalur Rel Lebar 1067 mm**

| Kelas jalan | Daya Angkut Lintas (ton/tahun) | $V_{\text{maks}}$ (km/jam) | P maks gandar (ton) | Tipe Rel       | Jenis                           | Jenis Penambat        | Tebal Balas Atas (cm) | Lebar Bahu Balas (cm) |
|-------------|--------------------------------|----------------------------|---------------------|----------------|---------------------------------|-----------------------|-----------------------|-----------------------|
|             |                                |                            |                     |                | Jarak antar sumbu bantalan (cm) |                       |                       |                       |
| 1           | $>20.10^6$                     | 120                        | 18                  | R.60/R.54      | Beton<br>60                     | Elastis Ganda         | 30                    | 60                    |
|             |                                |                            |                     |                | Beton/Kayu<br>60                |                       |                       |                       |
| 2           | $10.10^6 - 20.10^6$            | 110                        | 18                  | R.54/R.50      | Beton/Kayu/Baja<br>60           | Elastis Ganda         | 30                    | 50                    |
|             |                                |                            |                     |                | Beton/Kayu/Baja<br>60           |                       |                       |                       |
| 3           | $5.10^6 - 10.10^6$             | 100                        | 18                  | R.54/R.50/R.42 | Beton/Kayu/Baja<br>60           | Elastis Ganda         | 30                    | 40                    |
|             |                                |                            |                     |                | Beton/Kayu/Baja<br>60           |                       |                       |                       |
| 4           | $2,5.10^6 - 5.10^6$            | 90                         | 18                  | R.54/R.50/R.42 | Beton/Kayu/Baja<br>60           | Elastis Ganda/Tunggal | 25                    | 40                    |
|             |                                |                            |                     |                | Kayu/Baja<br>60                 |                       |                       |                       |
| 5           | $<2,5.10^6$                    | 80                         | 18                  | R.54           |                                 | Elastis Tunggal       | 25                    | 35                    |

**Sumber: Kementerian Perhubungan, 2012**

## 2.7 Ruang Bebas dan Ruang Bangun

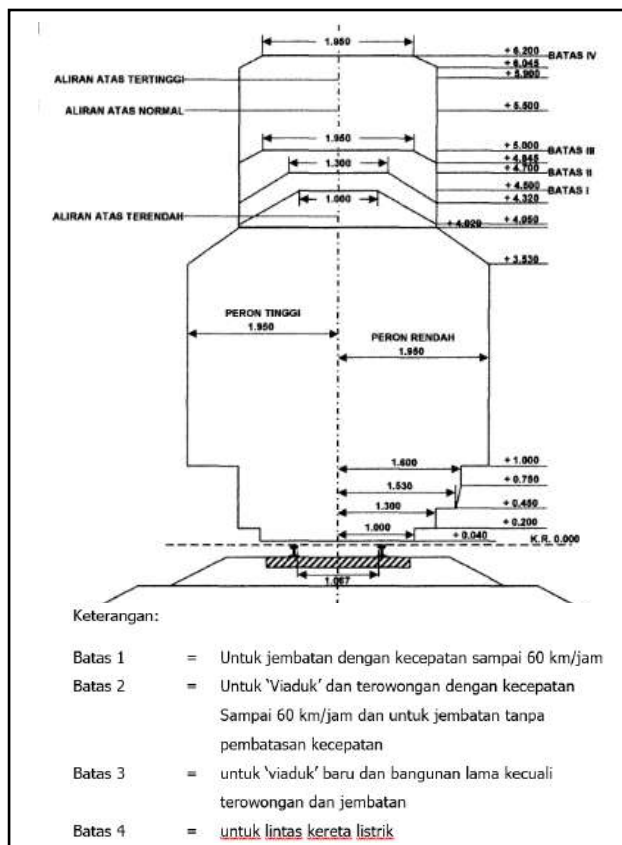
Dalam penyediaan infrastruktur jalur rel diperlukan persyaratan ruang bebas dan ruang bangun yang dipertimbangkan dari aspek tata letak, tata ruang, dan lingkungan.

- A. Ruang Bebas adalah ruang di atas jalur rel yang senantiasa harus bebas dari segala rintangan dan benda penghalang, ruang ini disediakan untuk lalu lintas kereta api.
- B. Ruang bangun adalah ruang sisi jalur rel yang senantiasa harus bebas dari segala bangunan tetap.

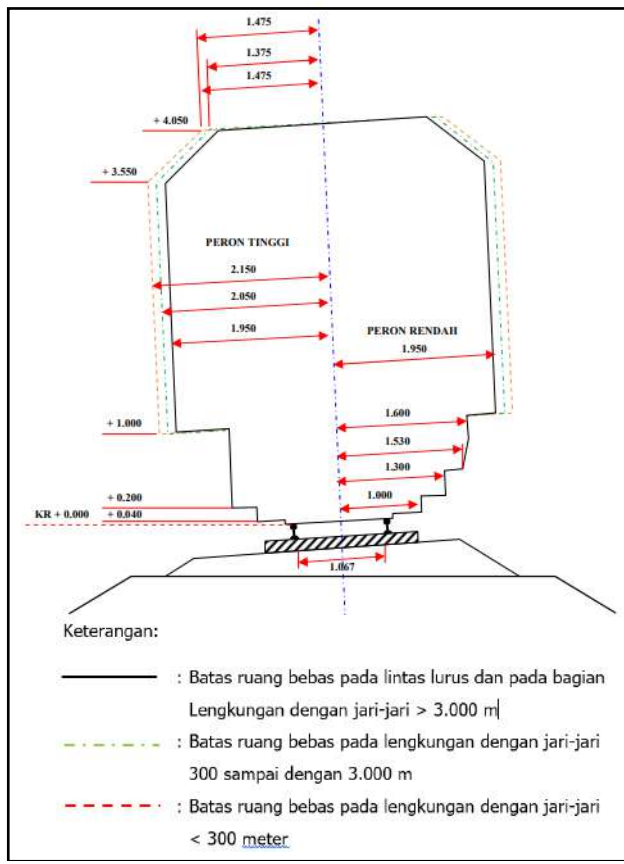
**Tabel 2. Jarak Ruang Bangun**

| Segmen Jalur         | Lebar Jalan Rel 1067 mm dan 1435 mm       |   |
|----------------------|---|---|
|                      | Jalur Lurus                               | Jalur Lengkung R<800  |
| Lintas Bebas         | minimal 2,35 m di kiri kanan as jalan rel | R ≤ 300, minimal 2,55 m<br>R > 300, minimal 2,45 m di kiri kanan as jalan rel |
| Emplasemen           | minimal 1,95 m di kiri kanan as jalan rel | minimal 2,35 m di kiri kanan as jalan rel                                     |
| Jembatan, Terowongan | 2,15 m di kiri kanan as jalan rel         | 2,15 m di kiri kanan as jalan rel   |

**Sumber: Kementerian Perhubungan, 2012**



**Sumber: Kementerian Perhubungan, 2012**  
**Gambar 2 Ruang Bebas Lebar Rel 1067 mm Bagian Lurus**



**Sumber: Kementerian Perhubungan, 2012**  
**Gambar 3 Ruang Bebas Lebar Rel 1067 mm Bagian Lengkung**

## 2.8 Pengolompokan Lintas

Menurut Peraturan Dinas no. 10 tahun 1986, berdasarkan pada kelandaian dari sumbu jalur rel dapat dibedakan atas 4 kelompok

**Tabel 3. Pengelompokan Lintas Bedasarkan Kelandaian**

| Kelompok               | Kelandaian      |
|------------------------|-----------------|
| Emplasemen             | 0 sampai 1,5 %o |
| Lintas datar           | 0 sampai 10 %o  |
| Lintas pegunungan      | 10 sampai 40 %o |
| Lintas dengan rel gigi | 40 sampai 80 %o |

**Sumber: Kementerian Perhubungan, 2012**

## 2.9 Geometrik Jalur Rel

Geometri jalur rel direncanakan berdasarkan pada kecepatan rencana serta ukuran kereta yang melewatkannya dengan memperhatikan faktor keamanan, kenyamanan, ekonomi dan keserasian dengan lingkungan sekitarnya.

### 2.9.1 I.P (Intersection Point)

Titik perpotongan kedua garis tangen adalah titik potong horizontal atau disebut I.P (*Intersection Point*), dihitung dengan persamaan garis lurus melalui 2 titik koordinat A( $X_i; Y_i$ ) dan B( $X_j; Y_j$ ).

$$\frac{y - y_j}{y_j - y_i} = \frac{x - x_j}{x_j - x_i}$$

Dihasilkan:

$$Ax_1 + By_1 + C_1 = 0 \text{ (pers. 1)}$$

$$Ax_2 + By_2 + C_2 = 0 \text{ (pers. 2)}$$

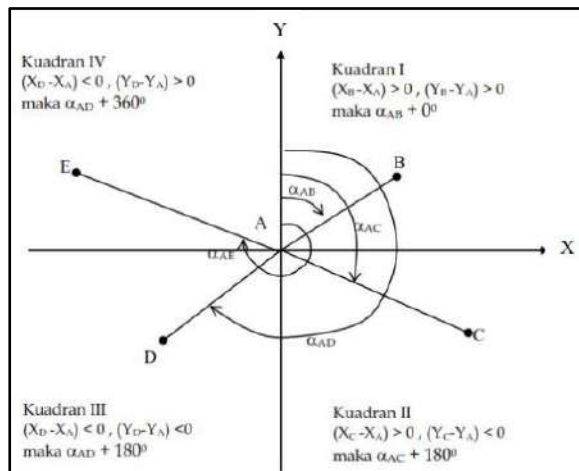
Dari hasil 2 persamaan garis diatas, diperoleh nilai koordinat I.P dengan nilai X dan Y dengan metode perhitungan eliminasi.

### 2.9.2 Sudut Peubah Arah

Dalam rekayasa jalur rel, peubah arah dinyatakan dengan sudut jurusan ( $\alpha$ ) dan sudut peubah jurusan ( $\Delta$ ).

$$\alpha = \tan^{-1} \frac{x_b - x_a}{y_b - y_a}$$

$$\Delta = |\phi_1 - \phi_2|$$



Sumber: Syaifullah, 2019  
Gambar 4. Kuadran Azimuth

Tabel 4. Kuadran Azimuth

| Kuadran | $X_b - X_a$ | $Y_b - Y_a$ | azimut ( $\phi$ )     |
|---------|-------------|-------------|-----------------------|
| 1       | +           | +           | $\phi = \alpha$       |
| 2       | +           | -           | $\phi = 180 - \alpha$ |
| 3       | -           | -           | $\phi = 180 + \alpha$ |
| 4       | -           | +           | $\phi = 360 - \alpha$ |

Sumber: Umaryono, 1986

### 2.9.3 Jarak I.P

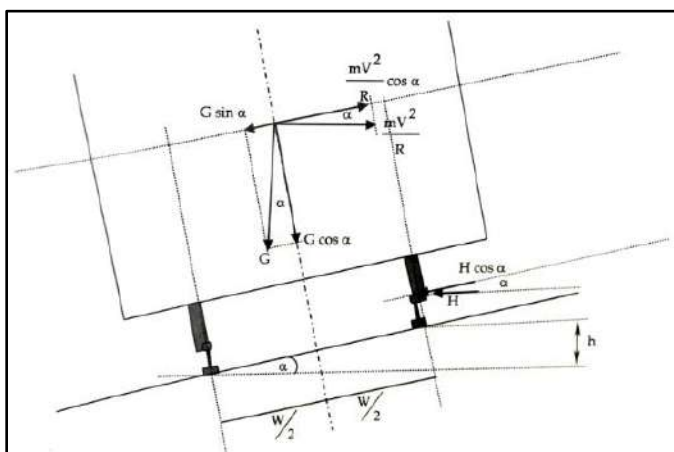
Jarak P.I adalah jarak antara dari titik 1 ke titik 2.

$$d = \sqrt{(x_b - x_a)^2 + (y_b - y_a)^2}$$

### 2.9.4 Alinyemen Horizontal

Lengkung horizontal adalah dua bagian lurus, yang perpanjangnya saling membentuk sudut harus dihubungkan dengan lengkung yang berbentuk lingkaran, dengan atau tanpa lengkung peralihan.

a. Gaya sentrifugal diimbangi oleh gaya berat dan daya dukung komponen rel:



Sumber: ATR/BPN, 2019  
Gambar 5. Skematik Gaya Sentrifugal

Dengan hasil uraian

$$a = \frac{V^2}{13R} - g \frac{h}{W}$$

Dengan memasukan percepatan setrifugal (a) maksimum yang ditentukan adalah 0,0478 g, hmaks = 110 mm (lebar rel 1067 mm), persamaan jari-jari minimum lengkung dengan peralihan:

$$R_{\min} = 0,054 V^2$$

b. jari-jari minimum lengkung tanpa peralihan

$$R_{\min} = 0,164 V^2$$

**Tabel 5. Persyaratan Perencanaan Lengkungan**

| Kecepatan Rencana (km/jam) | Jari-jari minimum lengkung lingkaran tanpa lengkung peralihan (m) | Jari-jari minimum lengkung lingkaran yang diijinkan dengan lengkung peralihan (m) |
|----------------------------|---|---|
| 120                        | 2370  | 780   |
| 110                        | 1990  | 660   |
| 100                        | 1650  | 550   |
| 90                         | 1330  | 440   |
| 80                         | 1050  | 350   |
| 70                         | 810   | 270   |
| 60                         | 600   | 200   |

**Sumber: Kementerian Perhubungan, 2012**

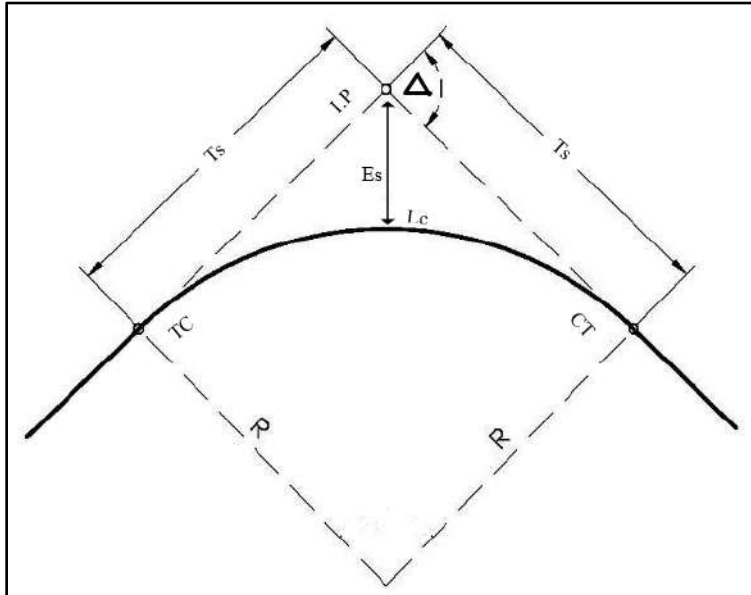
Lengkung horizontal terdiri dari 2 tipe, yaitu *Full Circle* dan *Spiral-Circle-Spiral*.

#### A. Full Circle

$$T_s = R \times \tan 0,5 \Delta$$

$$L_c = \frac{\Delta}{180} \times \pi \times R$$

$$E_s = R \times \sec 0,5 \Delta - R$$



**Sumber: Caltrain, 2011  
Gambar 6. Lengkung FC**

#### B. Spiral-Circle-Spiral

$$\theta_s = \frac{90 \times PLA}{\pi \times R}$$

$$\theta_c = \Delta - 2\theta_s$$

$$Lc = \frac{\theta_c}{180} \times \pi \times R$$

$$L = 2 PLA + Lc$$

$$Xc = PLA - \frac{PLA^3}{40 \times R^2}$$

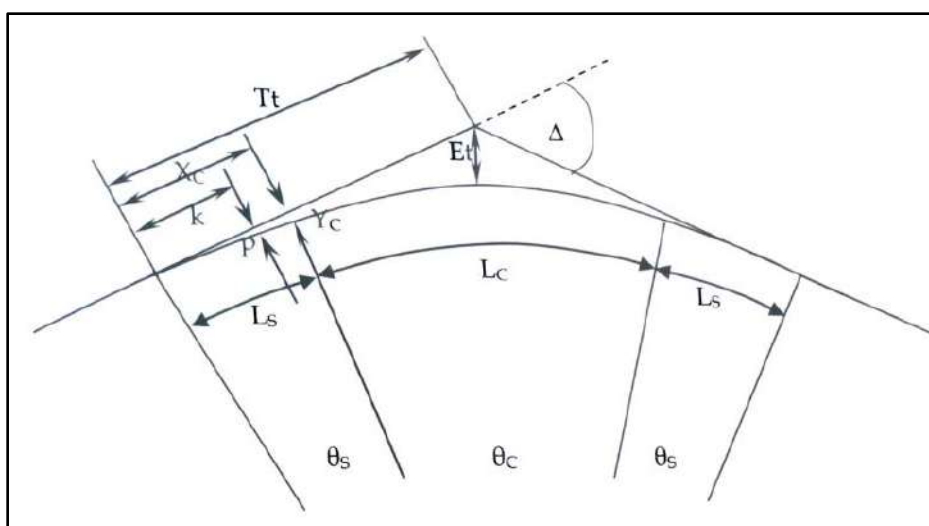
$$Yc = \frac{PLA}{6 \times R}$$

$$P = Yc - R(1 - \cos \theta_s)$$

$$k = Xc - R \sin \theta_s$$

$$Ts = (R+p) \tan \frac{\Delta s}{2} + k$$

$$Es = (R+p) \sec \frac{\Delta s}{2} - R$$



Sumber: Rosyidi, 2016  
Gambar 7. Lengkung SCS

### 2.9.5 Lengkung Peralihan (PLA)

Lengkung peralihan (spiral circle) adalah lengkung dengan jari-jari yang berubah beraturan.

$$PLA = 0,01 \times h \times V_r$$

### 2.9.6 Peninggian Rel

Peninggian rel dicapai dengan menepatkan rel dalam pada tinggi semestinya dan rel luar lebih tinggi. Peninggian dilakukan dengan cara meninggikan rel bagian luar, bukan menurunkan rel dalam. Untuk peninggian dengan lebar rel 1067 mm menggunakan rumus

$$h_{\text{normal}} = 5,95 \frac{V_r^2}{R}$$

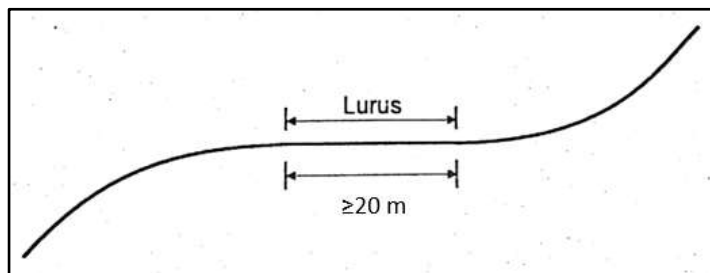
**Tabel 6. Peninggian Rel untuk lebar sepur 1067 mm**

| Jari-jari<br>(m) | Peninggian (mm) pas (km/jam) |     |     |     |     |     |     |
|------------------|------------------------------|-----|-----|-----|-----|-----|-----|
|                  | 120                          | 110 | 100 | 90  | 80  | 70  | 60  |
| 100              |                              |     |     |     |     |     |     |
| 150              |                              |     |     |     |     |     |     |
| 200              |                              |     |     |     |     |     | 110 |
| 250              |                              |     |     |     |     |     | 90  |
| 300              |                              |     |     |     |     | 110 | 75  |
| 350              |                              |     |     |     | 110 | 85  | 65  |
| 400              |                              |     |     |     | 100 | 75  | 55  |
| 450              |                              |     |     | 110 | 85  | 65  | 50  |
| 500              |                              |     |     | 100 | 80  | 60  | 45  |
| 550              |                              |     | 110 | 90  | 70  | 55  | 40  |
| 600              |                              |     | 100 | 85  | 65  | 50  | 40  |
| 650              |                              |     | 95  | 75  | 60  | 50  | 35  |
| 700              |                              | 105 | 85  | 70  | 55  | 45  | 35  |
| 750              |                              | 100 | 80  | 65  | 55  | 40  | 30  |
| 800              | 110                          | 90  | 75  | 65  | 50  | 40  | 30  |
| 850              | 105                          | 85  | 70  | 60  | 45  | 35  | 30  |
| 900              | 100                          | 80  | 70  | 55  | 45  | 35  | 25  |
| 950              | 95                           | 80  | 65  | 55  | 45  | 35  | 25  |
| 1000             | 90                           | 75  | 60  | 50  | 40  | 30  | 25  |
| 1100             | 80                           | 70  | 55  | 45  | 35  | 30  | 20  |
| 1200             | 75                           | 60  | 55  | 45  | 35  | 25  | 20  |
| 1300             | 70                           | 60  | 50  | 40  | 30  | 25  | 20  |
| 1400             | 65                           | 55  | 45  | 35  | 30  | 25  | 20  |
| 1500             | 60                           | 50  | 40  | 35  | 30  | 20  | 15  |
| 1600             | 55                           | 45  | 40  | 35  | 25  | 20  | 15  |
| 1700             | 55                           | 45  | 35  | 30  | 25  | 20  | 15  |
| 1800             | 50                           | 40  | 35  | 30  | 25  | 20  | 15  |
| 1900             | 50                           | 40  | 35  | 30  | 25  | 20  | 15  |
| 2000             | 45                           | 40  | 30  | 25  | 20  | 15  | 15  |
| 2500             | 35                           | 30  | 25  | 20  | 20  | 15  | 10  |
| 3000             | 30                           | 25  | 20  | 20  | 15  | 10  | 10  |
| 3500             | 25                           | 25  | 20  | 15  | 15  | 10  | 10  |
| 4000             | 25                           | 20  | 15  | 15  | 10  | 10  | 10  |

Sumber: Kementerian Perhubungan, 2012

### 2.9.7 Lengkung Transisi Lurus (Lengkung S)

Lengkung transisi terjadi bila dua lengkung dari suatu lintas yang berbeda arah lengkungnya terletak bersambungan dan harus memiliki transisi lurusannya sekurang-kurangnya sepanjang 20 m di luar lengkung peralihan.



Sumber: Utomo, 2006  
Gambar 8. Lengkung S

## 2.10 Landai Penentu Maksimum

Landai penentu maksimum adalah suatu kelandaian (pendakian) yang terbesar yang ada pada suatu lintas lurus.

**Tabel 7. Landai Penentu Maksimum**

| Kelas Jalan Rel | Landai Penentu Maksimum |
|-----------------|-------------------------|
| 1               | 10 ‰                    |
| 2               | 10 ‰                    |
| 3               | 20 ‰                    |
| 4               | 25 ‰                    |
| 5               | 25 ‰                    |

Sumber: Kementerian Perhubungan, 2012

## 2.11 Alinyemen Vertikal

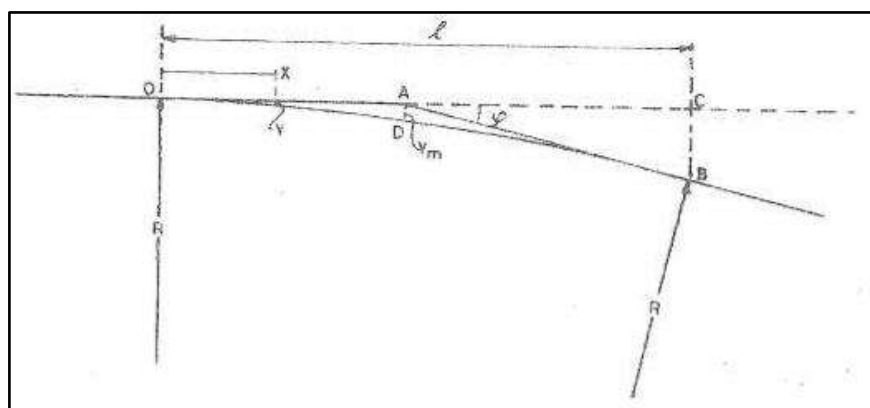
Alinyemen vertikal adalah proyeksi sumbu jalur rel pada bidang vertikal yang melalui sumbu jalur rel tersebut.

$$Gr = \frac{Jv}{Jh} \times 1.000$$

$$\Phi = |G_{rdepan} - G_{rbelakang}|$$

$$Xm = \frac{R}{2} \Phi$$

$$Ym = \frac{R}{8} \Phi^2$$



Sumber: Perusahaan Jawatan Kereta Api, 1986  
Gambar 9. Detail Lengkung Vertikal

Besar jari-jari minimum lengkung vertikal bergantung pada kecepatan rencana.

**Tabel 8. Jari-Jari Minimum Lengkung Vertikal Jalur Rel**

| Kecepatan Rencana<br>(km/jam) | Jari-Jari Minimum<br>Lengkung Vertikal (m) |
|-------------------------------|--|
| Lebih besar dari 100          | 8000                                       |
| Sampai 100                    | 6000                                       |

Sumber: Kementerian Perhubungan, 2012

## 2.12 Landai Curam

Pada kondisi khusus sering terdapat lintas dengan kelandaian yang lebih besar dari landai penentu ( $S_m$ ) dengan alasan ekonomis untuk perancangan diperlukan desain khusus untuk menentukan kelandaian yang disebut landai curam ( $S_k$ ).

$$\ell = \frac{(Va^2 - Vb^2)}{2g(S_k - S_m)}$$

## 2.13 Hambatan Alinyemen

Ketika kereta api beroperasi pada lintas yang dilalui akan mengalami gaya hambat, berupa hambatan laju, hambatan lengkung, dan hambatan landai.

### 2.13.1 Hambatan Laju atau Jalur

Hambatan jalur terjadi akibat gesekan roda dan rel, gesekan dalam gandar, dan hambatan udara.

$$H_J = 2,4 + c.V^2$$

Dengan  $c$ :

- $\frac{1}{1.000}$  (untuk kecepatan rendah)
- $\frac{1}{1300}$  (untuk kecepatan tinggi)

### 2.13.2 Hambatan Lengkung

Ketika kereta api melalui lengkung horizontal, roda luar menempuh jarak yang lebih panjang daripada roda dalam. Hal itu menyebabkan roda terseret dan menimbulkan gesekan yang menghambat.

$$H_L = \frac{375}{(R-50)}$$

### 2.13.3 Hambatan Landai

Hambatan landai ketika kereta api bergerak menanjak.

$$H_S = S \text{ kg/ton}$$

3 hambatan tersebut dapat dikobinasikan dengan berat kereta ( $G$ ) dan kecepatan kereta untuk mendapatkan daya traksi minimal yang menyesuaikan dengan daya mesin lokomotif maksimal.

$$G = [\sum L_i \times \text{berat lokomotif}] + [\sum R_i \times \text{berat rangkaian}]$$

$$N = 1,1 \times G \times (H_J + H_L + H_S) \times \frac{V_r}{270}$$

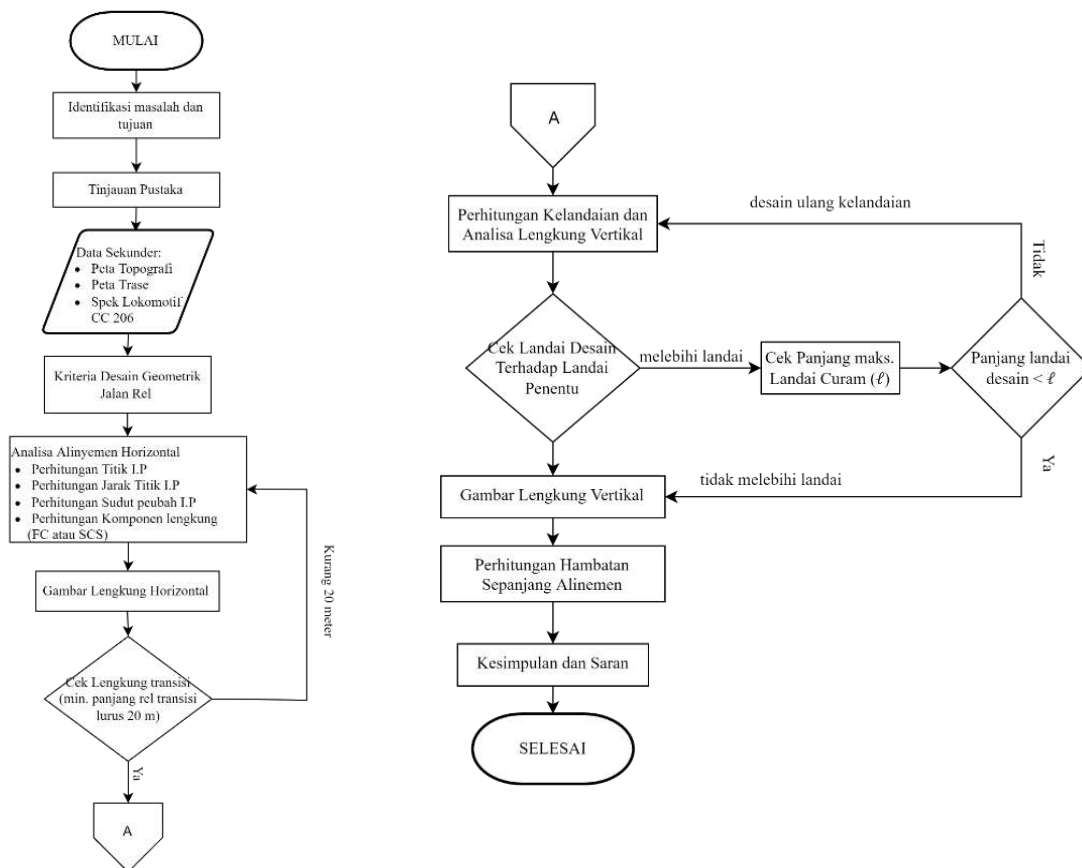
**Tabel 9. Spesifikasi Lokomotif tipe CC Di Indonesia**

| Jenis  | Penggerak        | Konfigurasi Bogie | Daya Mesin (HP) | Bobot (ton) |
|--------|------------------|-------------------|-----------------|-------------|
| CC200  | Diesel Elektrik  | C - C             | 1750            | 96          |
| CC201  | Diesel Elektrik  | C - C             | 1850            | 84          |
| CC203  | Diesel Elektrik  | C - C             | 2000            | 84          |
| CC204  | Diesel Elektrik  | C - C             | 2000            | 84          |
| CC206  | Diesel Elektrik  | C - C             | 2250            | 90          |
| CC 300 | Diesel Hidraulik | C - C             | 2500            | 84          |

Sumber: *General Electric, 2014*

### 3. METODE PENELITIAN

Bagan alir pada penelitian ini ditunjukkan pada Gambar 10.

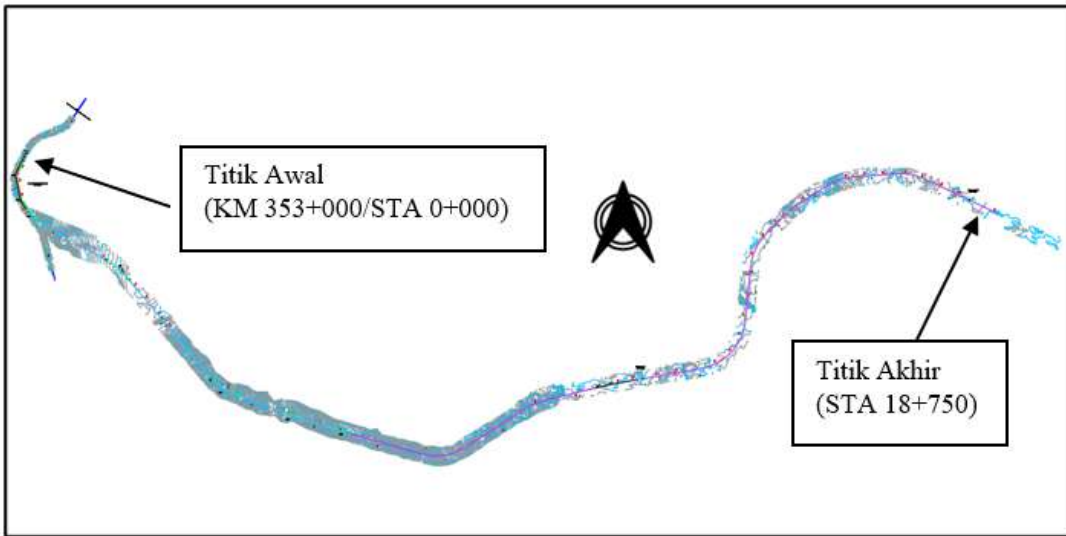


**Gambar 10. Langkah Penelitian**

### 4. ANALISIS DATA

Titik awal percabangan (STA 0+000) dimulai di KM 353+000 dimana jalur berbelok ke kiri menuju rencana Stasiun Purwokerto Selatan di STA 0+575. Jalur yang dianalisis dimulai dari STA 0+.000 sampai dengan STA 18+750 dengan panjang 18,75 km.

#### 4.1 Peta Situasi



Gambar 11. Peta Situasi Jalur

#### 4.2 Kriteria Desain

Rute kereta api Purwokerto Selatan – Banjarsari direncanakan menggunakan jalur rel kelas 1, yang dimana memiliki kriteria sebagai berikut:

- Kecepatan maksimum = 120 km/jam
- Lebar rel = 1067 mm
- Landai penentu = 10 ‰

#### 4.3 Perencanaan Alinyemen Horizontal

Perencanaan alinyemen horizontal, terdiri dari 15 titik I.P lengkung horizontal dengan bentuk 12 jenis lengkung *Spiral-Circle-Spiral* (SCS) dan 3 jenis lengkung *Full Circle* (FC).

##### 4.3.1 Titik I.P

Hasil perhitungan titik I.P dan sudut peubah pada Tabel 4.1.

Tabel 10. Hasil Perhitungan Koordinat Titik I.P

| Nama I.P | Koordinat I.P |               | Sudut Peubah |
|----------|---------------|---------------|--------------|
|          | X(m)          | Y(m)          |              |
| AWAL     | 302,326.669   | 9,177,143.273 |              |
| IP-01    | 302,152.951   | 9,176,817.457 | 39.819       |
| IP-02    | 302,236.118   | 9,176,417.745 | 23.403       |
| IP-03    | 302,416.360   | 9,176,161.830 | 24.837       |
| IP-04    | 303,708.200   | 9,175,415.801 | 20.111       |
| IP-05    | 305,213.974   | 9,173,613.798 | 29.679       |
| IP-06    | 306,234.851   | 9,173,233.361 | 2.228        |
| IP-07    | 307,016.943   | 9,172,976.073 | 2.398        |

**Tabel 10. Lanjutan Hasil Perhitungan Koordinat Titik I.P**

| Nama I.P | Koordinat I.P |               | Sudut Peubah   |
|----------|---------------|---------------|----------------|
|          | X(m)          | Y(m)          | $\Delta^\circ$ |
| IP-08    | 308,577.866   | 9,172,534.020 | 48.421         |
| IP-09    | 309,929.295   | 9,173,398.597 | 19.000         |
| IP-10    | 311,059.204   | 9,173,672.131 | 3.636          |
| IP-11    | 313,015.209   | 9,174,016.071 | 74.507         |
| IP-12    | 313,180.058   | 9,175,721.826 | 39.691         |
| IP-13    | 313,800.602   | 9,176,337.809 | 12.940         |
| IP-14    | 314,476.817   | 9,176,757.882 | 27.335         |
| IP-15    | 315,550.202   | 9,176,842.620 | 29.815         |
| AKHIR    | 316422.5070   | 9176430.2650  |                |

#### 4.3.2 Jarak Titik I.P

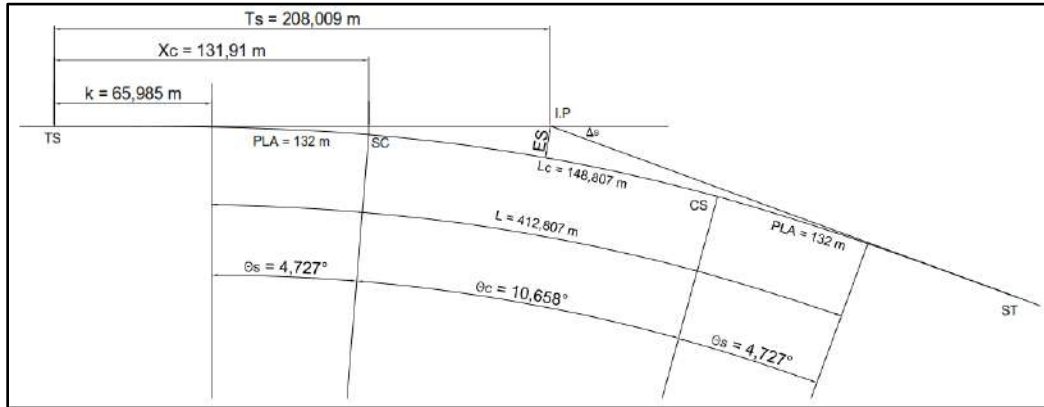
Hasil perhitungan jarak titik I.P pada Tabel 11.

**Tabel 11. Hasil Perhitungan Jarak Titik I.P**

| Nama I.P | Koordinat I.P |               | Jarak Titik |
|----------|---------------|---------------|-------------|
|          | X(m)          | Y(m)          | (m)         |
| AWAL     | 302,326.669   | 9,177,143.273 |             |
|          |               |               | 369.235     |
| IP-01    | 302,152.951   | 9,176,817.457 |             |
|          |               |               | 408.272     |
| IP-02    | 302,236.118   | 9,176,417.745 |             |
|          |               |               | 313.018     |
| IP-03    | 302,416.360   | 9,176,161.830 |             |
|          |               |               | 1,491.781   |
| IP-04    | 303,708.200   | 9,175,415.801 |             |
|          |               |               | 2,348.312   |
| IP-05    | 305,213.974   | 9,173,613.798 |             |
|          |               |               | 1,089.460   |
| IP-06    | 306,234.851   | 9,173,233.361 |             |
|          |               |               | 823.326     |
| IP-07    | 307,016.943   | 9,172,976.073 |             |
|          |               |               | 1,622.310   |
| IP-08    | 308,577.866   | 9,172,534.020 |             |
|          |               |               | 1,604.323   |
| IP-09    | 309,929.295   | 9,173,398.597 |             |
|          |               |               | 1,162.547   |
| IP-10    | 311,059.204   | 9,173,672.131 |             |
|          |               |               | 1,986.014   |
| IP-11    | 313,015.209   | 9,174,016.071 |             |
|          |               |               | 1,713.702   |
| IP-12    | 313,180.058   | 9,175,721.826 |             |
|          |               |               | 874.362     |
| IP-13    | 313,800.602   | 9,176,337.809 |             |
|          |               |               | 796.071     |
| IP-14    | 314,476.817   | 9,176,757.882 |             |
|          |               |               | 1,076.724   |
| IP-15    | 315,550.202   | 9,176,842.620 |             |
|          |               |               | 964.859     |
| AKHIR    | 316,422.507   | 9,176,430.265 |             |

#### 4.3.3 Lengkung Horizontal dengan Peralihan

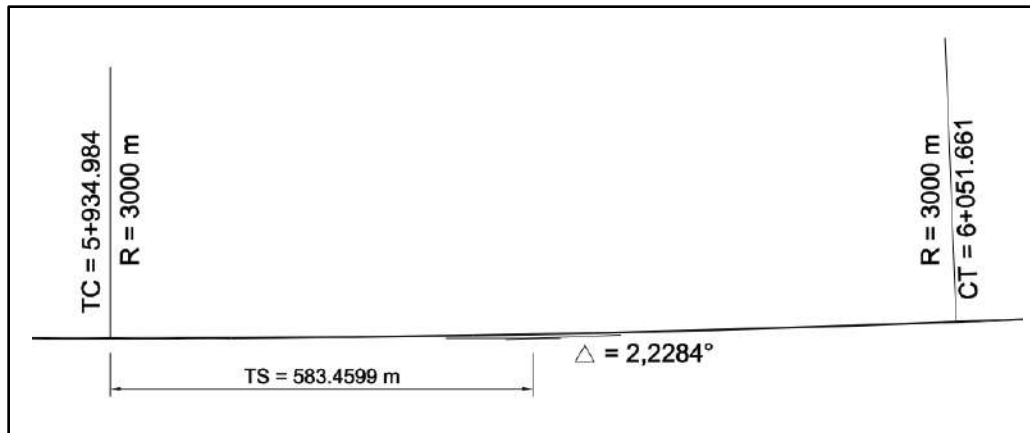
Lengkung horizontal dengan peralihan atau Spiral-Circle-Spiral (SCS) diambil pada titik IP-04 menggunakan kecepatan rencana (Vr) 120 km/jam dan sudut peubah ( $\Delta$ )  $20,111^\circ$



Gambar 12. Detail Lengkung SCS di IP-04

#### 4.3.4 Lengkung Horizontal Tanpa Peralihan

Lengkung horizontal tanpa peralihan atau Full Circle (FC) diambil pada titik IP-06, menggunakan kecepatan rencana (Vr) 120 km/jam, dan sudut peubah ( $\Delta$ )  $2,2284^\circ$



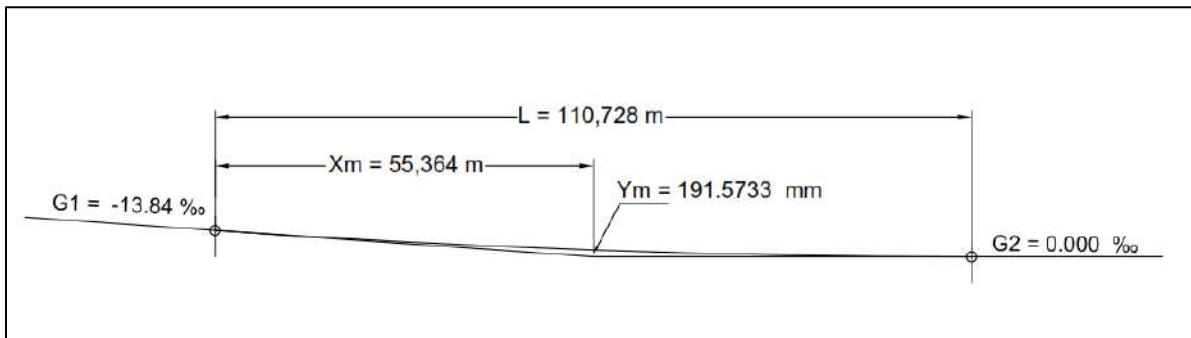
Gambar 13. Detail Lengkung FC di IP-06

**Tabel 12. Hasil Perhitungan Lengkung Horizontal**

| No. IP | R (m) | Vr (km/jam) | h (mm) | PLA (m) | $\theta_s$ ° | $\theta_c$ ° | Lc (m)  | L (m)    | Xc (m)  | Yc (m) | p (m) | k (m)  | Ts (m)  | Es (m)  | Jenis lengkung |
|--------|-------|-------------|--------|---------|--------------|--------------|---------|----------|---------|--------|-------|--------|---------|---------|----------------|
| AWAL   |       |             |        |         |              |              |         |          |         |        |       |        |         |         |                |
| IP-01  | 310   | 50          | 50     | 25      | 2.310        | 35.199       | 190.443 | 240.443  | 24.996  | 0.336  | 0.084 | 12.499 | 124.807 | 19.796  | SCS            |
| IP-02  | 310   | 50          | 50     | 25      | 2.310        | 18.783       | 101.624 | 151.624  | 24.996  | 0.336  | 0.084 | 12.499 | 76.724  | 6.665   | SCS            |
| IP-03  | 400   | 60          | 55     | 33      | 2.363        | 20.110       | 140.394 | 206.394  | 32.994  | 0.454  | 0.113 | 16.499 | 104.605 | 9.699   | SCS            |
| IP-04  | 800   | 120         | 110    | 132     | 4.727        | 10.658       | 148.807 | 412.807  | 131.910 | 3.630  | 0.909 | 65.985 | 208.009 | 13.404  | SCS            |
| IP-05  | 800   | 120         | 110    | 132     | 4.727        | 20.225       | 282.400 | 546.400  | 131.910 | 3.630  | 0.909 | 65.985 | 278.187 | 28.544  | SCS            |
| IP-06  | 3000  | 120         | 0      | 0       | 0.000        | 2.228        | 116.677 | 116.677  | 0.000   | 0.000  | 0.000 | 0.000  | 58.346  | 0.567   | FC             |
| IP-07  | 3000  | 120         | 0      | 0       | 0.000        | 2.398        | 125.549 | 125.549  | 0.000   | 0.000  | 0.000 | 0.000  | 62.784  | 0.657   | FC             |
| IP-08  | 800   | 120         | 110    | 132     | 4.727        | 38.967       | 544.087 | 808.087  | 131.910 | 3.630  | 0.909 | 65.985 | 426.106 | 78.147  | SCS            |
| IP-09  | 800   | 120         | 110    | 132     | 4.727        | 9.547        | 133.296 | 397.296  | 131.910 | 3.630  | 0.909 | 65.985 | 200.014 | 12.046  | SCS            |
| IP-10  | 3000  | 120         | 0      | 0       | 0.000        | 3.636        | 190.370 | 190.370  | 0.000   | 0.000  | 0.000 | 0.000  | 95.217  | 1.511   | FC             |
| IP-11  | 800   | 120         | 110    | 132     | 4.727        | 65.053       | 908.315 | 1172.315 | 131.910 | 3.630  | 0.909 | 65.985 | 675.088 | 206.212 | SCS            |
| IP-12  | 800   | 120         | 110    | 132     | 4.727        | 30.237       | 422.195 | 686.195  | 131.910 | 3.630  | 0.909 | 65.985 | 355.051 | 51.478  | SCS            |
| IP-13  | 800   | 120         | 110    | 132     | 4.727        | 3.486        | 48.671  | 312.671  | 131.910 | 3.630  | 0.909 | 65.985 | 156.809 | 6.042   | SCS            |
| IP-14  | 800   | 120         | 110    | 132     | 4.727        | 17.881       | 249.672 | 513.672  | 131.910 | 3.630  | 0.909 | 65.985 | 260.746 | 24.249  | SCS            |
| IP-15  | 800   | 120         | 110    | 132     | 4.727        | 20.361       | 284.293 | 548.293  | 131.910 | 3.630  | 0.909 | 65.985 | 279.201 | 28.804  | SCS            |
| AKHIR  |       |             |        |         |              |              |         |          |         |        |       |        |         |         |                |

#### 4.4 Perencanaan Alinyemen Vertikal

Perencanaan alinyemen vertikal, terdiri dari 18 titik, 2 titik dengan jari-jari lengkung vertikal 6.000 m dan 16 titik dengan jari-jari lengkung vertikal 8.000 m. Untuk lengkung vertikal diambil di titik IPV-01 dengan jari-jari lengkung vertikal 8.000 m.



**Gambar 14. Detail Lengkung Vertikal di IPV-01**

**Tabel 13. Hasil Perhitungan Alinyemen Vertikal**

| No. IPV | STA        | Elevasi<br>IPV<br>(m) | Kelandaan (Gr)    |                   |                       | R<br>Vertikal<br>(m) | L<br>(m) | Xm<br>(m) | Ym<br>(mm) | Jenis<br>Lengkung |
|---------|------------|-----------------------|-------------------|-------------------|-----------------------|----------------------|----------|-----------|------------|-------------------|
|         |            |                       | Sebelum<br>(o/oo) | Sesudah<br>(o/oo) | Selisih (A)<br>(o/oo) |                      |          |           |            |                   |
| AWAL    | 0+000.000  | 58.378                |                   | -6.832            |                       |                      |          |           |            |                   |
| IPV-A1  | 0+155.426  | 57.316                | -6.832            | -1.500            | 5.332                 | 6,000                | 31.992   | 15.996    | 21.323     | CEKUNG            |
| IPV-A2  | 0+925.000  | 56.162                | -1.500            | -13.841           | 12.341                | 6,000                | 74.046   | 37.023    | -114.225   | CEMBUNG           |
| IPV-01  | 1+433.850  | 49.119                | -13.841           | 0.000             | 13.841                | 8,000                | 110.728  | 55.364    | 191.573    | CEKUNG            |
| IPV-02  | 1+887.675  | 49.119                | 0.000             | -17.410           | 17.410                | 8,000                | 139.280  | 69.640    | -303.108   | CEMBUNG           |
| IPV-03  | 2+878.423  | 31.870                | -17.410           | 0.000             | 17.410                | 8,000                | 139.280  | 69.640    | 303.108    | CEKUNG            |
| IPV-04  | 3+300.000  | 31.870                | 0.000             | 15.061            | 15.061                | 8,000                | 120.488  | 60.244    | 226.834    | CEKUNG            |
| IPV-05  | 4+903.388  | 56.018                | 15.061            | -13.183           | 28.244                | 8,000                | 225.952  | 112.976   | -797.724   | CEMBUNG           |
| IPV-06  | 6+200.000  | 38.925                | -13.183           | 0.000             | 13.183                | 8,000                | 105.464  | 52.732    | 173.791    | CEKUNG            |
| IPV-07  | 6+650.000  | 38.925                | 0.000             | 13.442            | 13.442                | 8,000                | 107.536  | 53.768    | 180.687    | CEKUNG            |
| IPV-08  | 7+950.000  | 56.400                | 13.442            | 0.000             | 13.442                | 8,000                | 107.536  | 53.768    | -180.687   | CEMBUNG           |
| IPV-09  | 8+900.000  | 56.400                | 0.000             | -15.111           | 15.111                | 8,000                | 120.888  | 60.444    | -228.342   | CEMBUNG           |
| IPV-10  | 10+250.000 | 36.000                | -15.111           | 0.000             | 15.111                | 8,000                | 120.888  | 60.444    | 228.342    | CEKUNG            |
| IPV-11  | 12+150.000 | 36.000                | 0.000             | 8.727             | 8.727                 | 8,000                | 69.816   | 34.908    | 76.161     | CEKUNG            |
| IPV-12  | 12+425.000 | 38.400                | 8.727             | 0.000             | 8.727                 | 8,000                | 69.816   | 34.908    | -76.161    | CEMBUNG           |
| IPV-13  | 13+950.000 | 38.400                | 0.000             | -3.459            | 3.459                 | 8,000                | 27.672   | 13.836    | -11.965    | CEMBUNG           |
| IPV-14  | 15+050.000 | 34.596                | -3.459            | 0.000             | 3.459                 | 8,000                | 27.672   | 13.836    | 11.965     | CEKUNG            |
| IPV-15  | 15+950.000 | 34.596                | 0.000             | -4.281            | 4.281                 | 8,000                | 34.248   | 17.124    | -18.327    | CEMBUNG           |
| IPV-16  | 17+000.000 | 30.100                | -4.281            | 0.000             | 4.281                 | 8,000                | 34.248   | 17.124    | 18.327     | CEKUNG            |
| AKHIR   | 18+750.000 | 30.100                |                   |                   |                       |                      |          |           |            |                   |

#### 4.5 Panjang Landai Curam

Sepanjang jalur terdapat 5 landai yang melebihi landai penentu 10‰. Maka itu perlu dilakukan pengecekan panjang landai efektif ketika kereta melintas pada jalur tersebut bila panjang landai efektif diatas minimal landai curam.

**Tabel 14. Hasil Perhitungan Landai Curam**

| IPV Awal | IPV Akhir | Panjang Landai Desain (m) | Sk (%o) | Sm (%o) | Va (km/jam) | Vb (km/jam) | Va <sup>2</sup> (m/s) | Vb <sup>2</sup> (m/s) | t (m)     | Status (t > Panjang Landai Desain) |
|----------|-----------|---------------------------|---------|---------|-------------|-------------|-----------------------|-----------------------|-----------|------------------------------------|
| IPV-A2   | IPV-01    | 510.067                   | 13.84   | 10      | 60          | 30          | 278                   | 69.444                | 2,768.034 | Panjang landai curam terpenuhi     |
| IPV-02   | IPV-03    | 994.498                   | 17.41   | 10      | 90          | 45          | 625                   | 156.250               | 3,227.506 | Panjang landai curam terpenuhi     |
| IPV-04   | IPV-05    | 1,603.388                 | 15.061  | 10      | 90          | 45          | 625                   | 156.250               | 4,725.512 | Panjang landai curam terpenuhi     |
| IPV-05   | IPV-06    | 1,296.612                 | 13.183  | 10      | 90          | 45          | 625                   | 156.250               | 7,513.609 | Panjang landai curam terpenuhi     |
| IPV-07   | IPV-08    | 1,300.000                 | 13.442  | 10      | 90          | 45          | 625                   | 156.250               | 6,948.233 | Panjang landai curam terpenuhi     |
| IPV-09   | IPV-10    | 1,350.000                 | 15.111  | 10      | 90          | 45          | 625                   | 156.250               | 4,679.283 | Panjang landai curam terpenuhi     |

#### 4.6 Hambatan Alinyemen

Rangkaian kereta api terdiri dari 1 lokomotif CC 206 berbobot 90 ton dengan data 2250 HP untuk menarik 7 kereta penumpang dengan berat kosong 39,5 ton. Jumlah penumpang 1 kereta 50 orang dan berat masing-masing penumpang 70 kg (0,07 ton).

Kecepatan kereta diasumsikan 60 km/jam. Titik alinyemen paling kritis terletak di alinyemen vertikal dari titik IPV-02 (STA 1+887,675) sampai titik IPV-03 (STA 2+878,423) dengan kelandaian sebesar 17,41 %. Pada alinyemen tersebut terdapat jari-jari lengkung horizontal titik IP-04 sebesar 800 meter.

**Tabel 15. Hasil Perhitungan Hambatan Alinyemen**

| Jumlah Lokomotif | Jumlah Kereta Maksimum | Kecepatan (KM/Jam) | Daya Tarik Lokomotif (HP) | G (ton) | HJ    | HL  | HS    | N Minimal (HP) | Status           |
|------------------|------------------------|--------------------|---------------------------|---------|-------|-----|-------|----------------|------------------|
| 1                | 7                      | 60                 | 2,250                     | 391     | 5.169 | 0.5 | 17.41 | 2,205.862      | Dapat Beroperasi |
| 1                | 5                      | 70                 | 2,250                     | 305     | 6.169 | 0.5 | 17.41 | 2,094.447      | Dapat Beroperasi |
| 2                | 14                     | 60                 | 4,500                     | 782     | 5.169 | 0.5 | 17.41 | 4,411.723      | Dapat Beroperasi |
| 2                | 11                     | 70                 | 4,500                     | 653     | 6.169 | 0.5 | 17.41 | 4,484.177      | Dapat Beroperasi |

### 5. KESIMPULAN

Berdasarkan hasil analisis dan perhitungan perencanaan geometrik jalur rel rute Purwokerto Selatan – Banjarsari dengan pajang 18,75 km, maka diperoleh:

1. Kriteria Desain
  - a. Kelas Jalan rel: kelas 1
  - b. Lebar rel = 1067 mm
  - c. kecepatan maksimum 120 km/jam.
2. Alinyemen Lengkung HorizontalTerdapat 15 buah lengkung horizontal terdiri dari 12 buah tipe lengkung horizontal dengan peralihan (SCS) dan 3 buah tipe lengkung horizontal tanpa peralihan (FC) sebagai berikut:
  - a. Tipe lengkung horizontal dengan peralihan (SCS) memakai jari-jari minimum 800 meter, kecuali pada I.P-01, I.P-02, dan I.P-03.
  - b. Tipe lengkung horizontal tanpa peralihan (FC) memakai jari-jari minimum 3.000 meter.
3. Alinyemen Lengkung VertikalTerdapat 16 buah lengkung vertikal sebagai berikut:
  - a. Pada IPV-A1 dan IPV-A2 memakai jari-jari lengkung vertikal sebesar 6.000 m.
  - b. Pada IPV-01 sampai dengan IPV-16 memakai jari-jari lengkung vertikal sebesar 8.000 m.
4. Panjang Landai CuramTerdapat 6 buah landai curam maksimum yang melebihi landai penentu 10 % dengan hasil panjang landai curam maksimal aman untuk dilewati kereta api.

5. Hambatan Alinyemen

Untuk kereta dengan stamformasi 1 lokomotif CC 206 menarik 7 kereta penumpang melewati titik alinyemen vertikal kritis pada IPV-02 sampai IPV-03 dengan landai 17,41 % dengan jari-jari lengkung horizontal adalah 800 m di titik IP-02 mampu beroperasi dengan aman pada hambatan tersebut.

**DAFTAR RUJUKAN**

- Caltrain. (2011). *Chapter 2 - Track*. California: Caltrain Design Criteria Contour Maps - A Short Guide. *Support Mapserve*. 2021. Map Serve. 25 Februari 2021. <<https://www.mapserve.co.uk/blog/contour-maps-a-guide>>
- GE Lokomotif Indonesia dari Masa ke Masa. *General Electric News*. 2014. General Electric. 29 September 2014. < <https://www.ge.com/news/reports/ge-lokomotif-indonesia-dari-masa-ke-masa>>
- Kementerian Perhubungan. (2012). *Persyaratan Teknis Jalur Kereta Api*.
- Kementerian Perhubungan. (2012). *Tata Cara Penetapan Trase Jalur Kereta Api*.
- Perusahaan Jawatan Kereta Api. (1986). *Peraturan Dinas Nomor 10*.
- Purwohardjo, Umaryono U, (1986). *Pengukuran Horizontal*. Bandung: Jurusan Teknik Geodesi ITB
- Rosyidi, Sri Atmaja. (2016). *Rekayasa Jalur Kereta Api*. Yogyakarta: LP3M Universitas Muhammadiyah Yogyakarta.
- Salman, Mohamad. (2017). *Perencanaan Geometrik Jalur Rel Surabaya – Bandara Juanda, STA KM 14+.000 – STA KM 16+.000*. Bandung: Institut Teknologi Nasional Bandung.
- Sekolah Tinggi Pertanahan Nasional (2019). *Modul 2 Jenis Citra*
- Sukirman, Silvia. (2015). *Dasar Dasar Perencanaan Geometrik Jalur*. Bandung: Karyamanunggal Lithomas
- Suparno, S. M., dan E. Marlina. (2005). *Perencanaan dan Pengembangan Perumahan*. Yogyakarta: Andi Offset
- Syahrul. (2018). *Modul 1 Peta Topografi*. Bandung: Institut Teknologi Bandung
- Syaifulah, Arief. (2019). *Ilmu Ukur Tanah*. Yogyakarta: Kementerian Agraria dan Tata Ruang/ Badan Pertanahan Nasional
- Utomo, Suryo Hapsoro. (2006). *Jalur Rel*. Yogyakarta: Beta Offset Yogyakarta.